



مجله علوم و تکنولوژی پلیمر

سال بیست و یکم، شماره ۵

صفحه ۱۳۸۷-۱۴۴۳

ISSN : 1016-3255

مدل سازی با استفاده از معادلات ممان‌ها برای بررسی نقش

تنوع مرکز فعال در سینتیک هموپلیمرشدن اتیلن

مهدی سلامی کلچاهی^۱، محمد نجفی^۱، وحید حدادی اصل^{*}، سید مهدی قافله باشی زرنده^۲

۱- تهران، دانشگاه صنعتی امیرکبیر، دانشکده مهندسی پلیمر، صندوق پستی ۱۵۸۷۵-۴۴۱۳

۲- تهران، شرکت پژوهش و فناوری پتروشیمی، گروه پژوهش‌های پلیمری، کد پستی ۱۴۳۸۵

دریافت: ۸/۶/۸۰، پذیرش: ۸/۹/۸۰

در این مقاله، هموپلیمرشدن اتیلن در حضور کاتالیزور زیگلر-ناتا انجام و با استفاده از معادلات ممان‌ها مدل‌سازی شده است. برای مدل‌سازی، ساز و کاری شامل پنج نوع مرکز فعال در نظر گرفته شد که برای هر کدام ثوابت سرعت و محصول تولید شده متفاوت‌اند. هم‌چنان، از کاتالیزور $MgCl_2/AlEt_3/TiCl_4$ نگه‌داری شده به وسیله سیلیکا برای تولید پلیمر استفاده شد. نتایج به دست آمده از مدل‌سازی انتطاق مناسبی با داده‌های تجربی نشان می‌دهند. طبق نتایج، توزیع وزن مولکولی هر نوع مرکز فعال از تابع توزیع فلوری پیروی می‌کند، در حالی که توزیع وزن مولکولی پلیمر نهایی بدون درنظر گرفتن تنوع مرکز فعال متفاوت و در کل بزرگ‌تر از یک است. هیدروژن فعالیت کاتالیزور و وزن مولکولی را کاهش نسبت به غلظت مونومر برای هر نوع از مرکز فعال متفاوت و در کل افزایش مقدار کک کاتالیزور نیز توزیع وزن مولکولی پلیمر نهایی را پهن می‌کند. هم‌چنان، میزان اثرگذاری هیدروژن و کمک کاتالیزور بر مرکز فعال مختلف نیز متفاوت است که این امر با استفاده از داده‌های مدل‌سازی کاملاً مشهود است.

واژه‌های کلیدی

پلی اتیلن
کاتالیزور زیگلر-ناتا،
مدل‌سازی، معادلات ممان،
هموپلیمرشدن

*مسئول مکاتبات، پیام‌نگار:

haddadi@aut.ac.ir

Employing Moment Equations Model to Study the Effect of Different Active Centers on Homopolymerization Kinetics of Ethylene

M. Salami-Kalajahi¹, M. Najafi¹, V. Haddadi-Asl^{*1}, and S.M. Ghafelebashi-Zarand²

1. Polymer Engineering Department, Amirkabir University of Technology, P.O. Box: 15875-4413, Tehran, Iran

2. Polymer Research Group, Petrochemical Research and Technology Company, Postal Code: 14385,
Tehran, Iran

Received 8 September 2008; accepted 30 November 2008

Abstract

Ethylene was homopolymerized over Ziegler-Natta catalyst and the homopolymerization was modeled using moment equations. Mechanism was modeled according to five different reaction centers of catalyst. For each center, there are different reaction rate coefficients; therefore the final product of each center would be expected to be different. Modeling results showed good conformity to the experimental results. According to the results obtained, the molecular weight distribution of each active center follows a Schultz-Flory distribution. However, the molecular weight distribution of polymer produced is much broader than a Schultz-Flory distribution. Besides, the order of polymerization with regards to monomer concentration is different for each center and it is higher than unity. Moreover, the catalyst active centers deteriorate in the presence of hydrogen and consequently catalyst yield drops. Nevertheless, polymerization kinetics is not affected much by hydrogen. Hydrogen also reduces polymer molecular weight since it is a strong transfer agent in olefin polymerizations. Notwithstanding, it does not affect polydispersity index. Finally, by increasing the cocatalyst concentration the activity of active centers is not changed, while it lessens the molecular weight as a transfer agent.

Key Words

polyethylene,
Ziegler-Natta catalyst,
modeling, moment equations,
homopolymerization

(*) To whom correspondence should be addressed.

E-mail: haddadi@aut.ac.ir

مقدمه

غیرفعال شدن را روی نیم رخ سرعت بررسی کردند [۱۳]. ری (Ray) و همکاران سینتیک پلیمرشدن اتیلن را با در نظر گرفتن پدیده‌های نفوذ و با استفاده از روش معادلات ممان مطالعه و چگونگی رشد ذرات در طول پلیمرشدن و شکل شناسی آنها را مدل سازی کردند [۱۴]. هم‌چنین، باگوات و همکاران با ارائه مدلی هم‌دما اثر محدودیت‌های انتقال جرم گاز-مایع را روی برخی از مشخصات پلیمر مانند وزن مولکولی و شاخص پراکندگی به دست آوردند. آنها علت پهن بودن توزیع وزن مولکولی را وجود چهار مرحله انتقال جرم از توده فاز گازی تا سطح کاتالیزور بیان کردند [۱۵].

در ۱۹۹۷ چوبی و همکاران با ارائه و بسط مدلی برای کاتالیزورهای زیگلر-ناتا برپایه تیتانیم توانستند وزن مولکولی و شاخص پراکندگی را بر حسب زمان برای پلیمرشدن اتیلن با استفاده از روش معادلات ممان و بدون در نظر گرفتن تنوع مراکز فعال مدل سازی کنند. در این پژوهش، آنها اثر ثابت‌های مختلف سرعت و هم‌چنین غلظت مونومر و کمک کاتالیزور را روی وزن مولکولی بررسی کردند [۱۶].

هیندربیخ و همکاران نیز پلیمرشدن اتیلن را با استفاده از کاتالیزورهای بر پایه تیتانیم و در مجاورت هیدروژن و کومونومر ۱-اکتن مطالعه کردند [۱۷]. کیسین و همکاران سینتیک و ساز و کار سینتیک واکنش پلیمرشدن اتیلن را به سیله کاتالیزورهای زیگلر-ناتا مورد بررسی قرار دادند. آنها با تحلیل داده‌های به دست آمده دریافتند که برخی از مراکز فعال در واکنش‌های هموپلیمرشدن و برخی دیگر در واکنش‌های کوپلیمرشدن نقش اساسی دارند. هم‌چنین، با استفاده از نتایج تجربی مدلی جدید ارائه دادند که در آن پدیده‌های غیرمعمول و نامتعارف پلیمرشدن اتیلن توضیح داده می‌شد. آنها با استفاده از مدل توسعه داده شده و بهره‌گیری از روش‌های آماری، ساختار انتهای زنجیر و هم‌چنین ساز و کار پلیمرشدن اتیلن را بررسی کردند [۱۸، ۱۹].

در سال ۲۰۰۰، زاجا با ارائه مدلی بر پایه تیتانیم، واکنش اتیلن در حضور کاتالیزورهای بر پایه سینتیک و واکنش اتیلن در فعال را مطالعه کرد [۲۰].

ها و همکاران پدیده‌های نفوذ را همراه با سینتیک و واکنش در نظر گرفتند و اثر غلظت هیدروژن و اندازه اولیه ذرات کاتالیزور را روی پلیمرشدن اولفین‌ها بررسی کردند [۲۱]. هم‌چنین، زاجا و همکاران اثر هیدروژن را روی سینتیک کاتالیزورهای بر پایه وانادیم و تیتانیم مطالعه کردند. آنها دریافتند که هیدروژن اثری بر شاخص پراکندگی پلیمر به دست آمده و نیز پایداری مراکز فعال ندارد. هم‌چنین، ثابت سرعت انتشار پلیمرشدن با تغییر غلظت اتیلن ثابت می‌ماند و هیدروژن فقط قبل از شروع پلیمرشدن می‌تواند برخی از مراکز فعال را غیرفعال کند [۲۲، ۲۳]. کیسین اثر دما،

کاتالیزورهای زیگلر-ناتا به طور گسترده در پلیمرشدن اتیلن برای تولید انواع مختلف پلی اتیلن به کار می‌روند. تاکنون تلاش‌های زیادی انجام شده است، تا سینتیک و ساز و کار هر سامانه کاتالیزوری به طور دقیق مشخص شود. ولی ویژگی‌های خاص این نوع کاتالیزورها مانند تنوع مراکز فعال و واپستگی شدید فعالیت آنها به مقدار ترکیبات استفاده شده در سامانه کاتالیزوری باعث شده است تا سینتیک واکنش از کاتالیزوری به کاتالیزور دیگر تغییر کند. برای مثال، همه کاتالیزورهای زیگلر-ناتای بر پایه تیتانیم دارای تنوع مراکز فعال هستند و پلیمر تولیدشده با این کاتالیزورها، بدون در نظر گرفتن تنوع مراکز فعال، توزیع وزن مولکولی بهمنی دارد، در حالی که پلیمر تولیدشده به سیله هر نوع مرکز فعال توزیع وزن مولکولی باریک و نزدیک به ۲ دارد و از تابع توزیع شولتر-فلوری پیروی می‌کند. به همین دلیل به آنها اجزای فلوری نیز گفته می‌شود. هم‌چنین، هنگامی که آلفا-اولفین‌ها با این کاتالیزورها پلیمر می‌شوند، مراکز فعال مختلف پلیمرهایی با هم نظمی مختلف تولید می‌کنند. هنگامی که اتیلن با یک یا دو آلفا-اولفین مختلف کوپلیمر می‌شود، هر نوع مرکز، کوپلیمری با ترکیب درصد متفاوت از سایر مراکز تولید می‌کند. در طول پلیمرشدن نیز مراکز فعال مختلف با سرعت‌های متفاوتی تولید می‌شوند و از بین می‌روند. هم‌چنین، حساسیت این مراکز با سimum مختلف موجود در محیط واکنش متفاوت است [۴-۱]. در واقع شاید بتوان اولین تلاش‌ها برای تعیین ساز و کار واکنش‌های کاتالیزوری زیگلر-ناتا را به تیت و همکاران نسبت داد. آنها در پژوهش‌های خود مدلی کلی برای واکنش‌های زیگلر-ناتا ارائه کردند که در آن جذب مونومر و کمک کاتالیزور، روی سطح کاتالیزور، تعادلی در نظر گرفته می‌شد و واکنش با افزایش یک مولکول مونومر به پیوند کردن (متعلق به کمک کاتالیزور) - مرکز فعال شروع می‌شد. هم‌چنین، آنها نشان دادند که هر قدر آلکیل به کار رفته در ساختار کمک کاتالیزور کوچک‌تر باشد، واکنش شروع سریع تر رخ می‌دهد [۵-۷].

زاخاروف و همکاران در مدل خود برای اولین بار واکنش انتقال به هیدروژن را، که برای تعديل وزن مولکولی به کار می‌رود، در نظر گرفتند [۸، ۹]. در سال ۱۹۷۸ بوهم مدلی ارائه کرد که در آن تمام واکنش‌های موجود در پلیمرشدن اتیلن در حضور کاتالیزورهای زیگلر-ناتا در نظر گرفته شده بود. وی در این مدل معادلات سینتیکی را به صورت تحلیلی به دست آورد و در نهایت تنوع مراکز فعال را با استفاده از قانون مخلوط‌ها در نظر گرفت [۱۰-۱۲].

در سال ۱۹۹۱ کیم و همکاران نیم رخ سرعت واکنش پلیمرشدن دوغابی اتیلن را به شکل نظری به دست آوردند و اثر واکنش‌های

پلیمر شدن اتیلن ارائه شده و پارامترهای مزبور در طول پلیمر شدن با استفاده از روش‌های معادلات ممان مطالعه شوند. از این‌رو، مدلی با پنج مرکز فعال در نظر گرفته شده و پس از مدل‌سازی با روش ممان‌ها با نتایج تجربی مقایسه شده است.

تجربی

مواد

در این کار هگزان (محصول شرکت Merk، ۹۹٪) به عنوان محیط دوغاب، AlEt_3 (تهیه شده از شرکت Witco) به عنوان کمک کاتالیزور و اتیلن (محصول شرکت پژوهش و فناوری پتروشیمی) به عنوان مونومر استفاده شده‌اند. هم‌چنین TiCl_4 نگه داری شده با سیلیکا (حاوی ۳ درصد تیتانیم، $\text{Mg}/[\text{Si}] = 1$ و $[\text{Mg}]/[\text{Ti}] = 4$) به عنوان کاتالیزور مورد استفاده قرار گرفت.

دستگاه‌ها

واکنش پلیمر شدن در راکتور ۱ لیتری از جنس فولاد ضد زنگ مجهر به هم زن ساخت شرکت Buchi و سامانه کنترل کننده مقدار جریان رقیقی (MFC، Brooks) انجام شد. نیم رخ مصرف اتیلن در طول زمان واکنش با استفاده از این کنترل کننده اندازه گرفته شد و وزن مولکولی و توزیع آن در محصول نهایی با استفاده از روش رنگ‌نگاری ژل تراوایی (GPC) به دست آمد.

روش‌ها سترن پلیمر

پیش از انجام واکنش، راکتور تحت جریان گاز نیتروژن به مدت ۱ h در دمای 100°C خشک شد و سپس دمای آن به 30°C کاهش داده شد. هگزان به مقدار مورد نیاز در جو نیتروژن به راکتور اضافه و سپس اتیلن جای گزین جو نیتروژن شد. بعد از افزودن کمک کاتالیزور دمای راکتور در مقدار مطلوب تنظیم و هیدروژن (در صورت استفاده) به راکتور اضافه شد. پس از افزودن مقدار معین کاتالیزور واکنش به مدت ۱-۳ h انجام و پلیمر حاصل از راکتور خارج شد. محصولات به مدت ۳ h در دمای 75°C در خلاً خشک شدند.

سینتیک پلیمر شدن

پدیده‌هایی که در فرایندهای پلیمر شدن کاتالیزوری اتفاق می‌افتد،

مقدار کمک کاتالیزور و فشار جزئی مونومر و هیدروژن را روی سینتیک هموپلیمر شدن و کوپلیمر شدن اتیلن و هم‌چنین منحنی‌های توزیع وزن مولکولی به دست آورده. وی در این پژوهش مدل جدیدی ارائه کرد که در آن دلیل بسیاری از پدیده‌های غیرمتعارف که در پلیمر شدن اتیلن رخ می‌دهد، توضیح داده شده بود [۲۴].

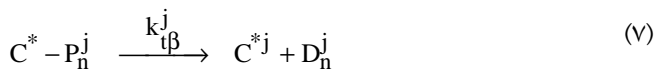
گاروف (Garoff) و همکاران با بررسی اثر هیدروژن روی سینتیک پلیمر شدن اتیلن دریافتند که وارد کردن مقدار کمی هیدروژن در محیط واکنش از فعالیت مراکز فعال می‌کاهد اما، در حالتی که غلظت هیدروژن زیاد باشد، زمان فعال شدن کاتالیزور را به تأخیر می‌اندازد [۲۵].

خاره و همکاران نیز با استفاده از مدل‌های حالت پایا و مدل‌های دینامیکی پلیمر شدن تجاری پلی‌اتیلن سنگین را با نرم افزار Aspen Polymers Plus و Aspen Dynamics مدل‌سازی کردند [۲۶]. تانگ و همکاران نیز پلیمر شدن اتیلن را در حضور کاتالیزورهای بر پایه کروم به حالت فاز گازی و دوغابی مدل‌سازی و با نتایج تجربی ارزیابی کردند [۲۷].

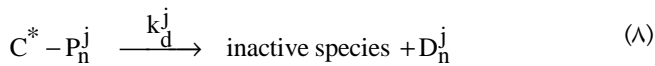
در سال ۲۰۰۴ علی‌زاده و همکاران با استفاده از روش معادلات ممان و مدل هیدرودینامیکی ساختار دینامیکی دوفازی، پلیمر شدن اتیلن را در راکتور بستر سیال مدل‌سازی کردند [۲۸]. هم‌چنین، جیانگ و همکاران پلیمر شدن ۱-هگزان را با استفاده از کاتالیزورهای زیگلر - ناتا بررسی کردند. آنها با استفاده از کاتالیزورهای پایه دار دوپه شده دریافتند که تغییر ساختار پایه روش مؤثری برای تنظیم توزیع مراکز فعال کاتالیزورهای زیگلر - ناتا ناهمگن است [۲۹].

وانگ و همکاران نیز با استفاده از مدل تنوع مراکز فعال اثر الکترون‌دهنده را روی توزیع مراکز فعال کاتالیزورهای زیگلر - ناتا نگه داری شده با پایه MgCl_2 مطالعه کردند و غلظت هر نوع مرکز فعال و هم‌چنین تغییرات ثابت سرعت انتشار آنها را با زمان به دست آوردهند [۳۰]. سوارس و همکاران سینتیک پلیمر شدن اولفین‌ها را با مدل دو مرکزی برای کاتالیزورهای برپایه وانادیم و راکتور پیوسته هم زن دار بررسی کردند و توزیع وزن مولکولی پلیمر را در شرایط مختلف به دست آوردهند [۳۱]. با توجه به بررسی‌های گسترده سینتیک واکنش پلیمر شدن اتیلن در سال‌های اخیر، مطالعات کمتری روی سهم هر نوع از مراکز فعال در پلیمر شدن در هر لحظه از واکنش و هم‌چنین تعیین ترکیب درصد پلیمر نهایی مشکل از پلیمرهای تولید شده به وسیله این مراکز انجام شده است. هم‌چنین، نیم رخ سرعت هر نوع از مراکز فعال، متوجه‌های عددی و وزنی وزن مولکولی و شاخص پراکندگی در طول زمان پلیمر شدن به شکل نظری و تجربی کمتر مطالعه شده است. بنابراین در پژوهش حاضر، سعی شده است تا یک مدل سینتیک مناسب برای

واکنش حذف هیدروژن بتا



واکنش غیرفعال شدن هم زمان مراکز فعال



در معادلات یاد شده S غلظت مراکز فعال کاتالیزور دارای پتانسیل واکنش، Al غلظت کمک کاتالیزور، C^* غلظت مراکز فعال اولیه $C^* - P_n$ غلظت مونومر در دوغاب، H_2 غلظت هیدروژن، n غلظت زنجیرهای پلیمری در حال رشد با طول n ، D_n^j غلظت زنجیرهای پلیمری مرده، Z نوع مرکز فعال و k ثابت سرعت هر واکنش هستند. در این معادلات فرض شده است که مراکز فعال دوباره تولیدشده در معادلات (۷) تا (۱۳) تفاوتی با یک دیگر ندارند و فعالیت آنها، در حالتی که از یک نوع مرکز فعال باشند، یکسان است.

مدل‌سازی با روش معادلات ممان

در فرایند نیمه پیوسته معادلات موازنۀ مواد برای ترکیبات موجود در محیط واکنش به ترتیب زیر هستند:

$$\frac{d[S]}{dt} = - \left(\sum_{j=1}^5 k_i^j \right) [S][Al] \quad (9)$$

$$\begin{aligned} \frac{d[Al]}{dt} &= - \left(\sum_{j=1}^5 k_i^j \right) [S][Al] \\ &\quad - \left(\sum_{j=1}^5 \left[k_{trAl}^j \left(\sum_{n=1}^{\infty} [C^* - P_n^j] \right) \right] \right) [Al] \end{aligned} \quad (10)$$

$$\begin{aligned} \frac{d[C^*j]}{dt} &= k_i^j [S][Al] - k_p^j [C^*j][M] \\ &\quad + \left(k_{trH}^j [H_2] + k_{trM}^j [M] + k_{trAl}^j [Al] + k_{t\beta}^j \right) \sum_{n=1}^{\infty} [C^* - P_n^j] \end{aligned} \quad (11)$$

$$\begin{aligned} \frac{d[C^* - P_n^j]}{dt} &= [k_p^j \left([C^*j] - [C^* - P_n^j] \right)] \\ &\quad + k_{trM}^j \sum_{n=1}^{\infty} [C^* - P_n^j][M] \end{aligned} \quad (12)$$

$$\frac{d[H_2]}{dt} = - \left[\sum_{j=1}^5 \left(k_{trH}^j \sum_{n=1}^{\infty} [C^* - P_n^j] \right) \right] [H_2] \quad (13)$$

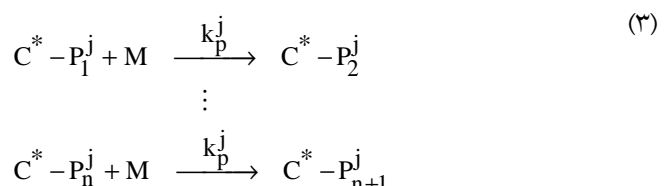
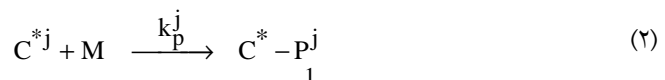
بسیار پیچیده‌اند. در ک همه این پدیده‌ها کار بسیار دشواری است و بازده و اعتبار هر سینتیک و مدل ارائه شده به درک این پدیده‌ها بستگی دارد. هم چنین، واکنش‌ها و سینتیک‌های مختلف واکنش‌های پلیمرشدن انجام شده با کاتالیزورهای زیگلر - ناتا پدیده‌ها و پیچیدگی‌های خاص خود، مانند تنوع مراکز فعال (با سرعت پلیمرشدن و فعالیت متفاوت برای هر نوع مرکز) و پدیده‌های فیزیکی (نفوذ) را دارند.

به طور کلی پذیرفته شده است که توزیع وزن مولکولی پهن پلیمرهای تولیدشده با این کاتالیزورها به دلیل تنوع مراکز فعال آنهاست و پدیده‌های نفوذی نقش کم‌رنگی دارند [۳، ۴]. به همین دلیل، در نظر گرفتن تنوع مراکز فعال در مدل ارائه شده امری اجتناب نپذیر است. ولی، می‌توان از پدیده‌های نفوذ، در شرایط خاصی صرف نظر کرد.

در مدل بررسی شده واکنش‌های شروع، انتشار، انتقال (به مونومر، کمک کاتالیزور، هیدروژن و حذف هیدروژن بتا) و غیرفعال شدن هم زمان مراکز فعال در نظر گرفته شده‌اند. واکنش شروع هنگامی اتفاق می‌افتد که مراکز کاتالیزوری موجود در سطح کاتالیزور برای تشکیل مراکز فعال با کمک کاتالیزور واکنش می‌دهند:

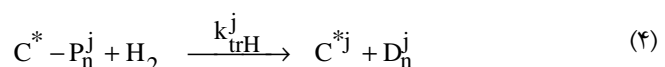


در واکنش انتشار، مونومر به پیوند میان کاتالیزور و مونومر مجاور آن اضافه می‌شود و زنجیر پلیمر در حال رشد تشکیل می‌دهد:

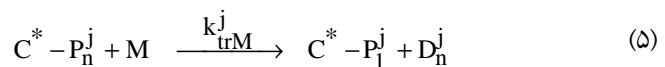


واکنش‌های انتقال نیز به ترتیب زیر رخ می‌دهند:

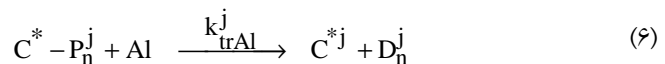
واکنش انتقال به هیدروژن



واکنش انتقال به مونومر



واکنش انتقال به کمک کاتالیزور



$$\frac{d[C^* - P_1^j]}{dt} = \left(k_p^j ([C^*]^j) - [C^* - P_1^j] + k_{trM}^j \lambda_0^j \right) M \quad (21)$$

$$\frac{d[H_2]}{dt} = - \left[\sum_{j=1}^5 \left(k_{trH}^j \lambda_0^j \right) \right] [H_2] \quad (22)$$

$$\frac{d[C^* - P_n^j]}{dt} = k_p^j [C^* - P_{n-1}^j] [M] - \frac{1}{\alpha^j} k_p^j [M] [C^* - P_n^j] \quad (23)$$

$$\frac{d[D_n^j]}{dt} = k_p^j [M] [C^* - P_n^j] \left(\frac{1}{\alpha^j} - 1 \right) \quad (24)$$

برای محاسبه متوسط های عددی و وزنی وزن مولکولی و شاخص پراکندگی از معادلات ممان صفرم تا دوم استفاده می شود. اگر در هر لحظه وزن مولکولی پلیمر ناشی از وجود زنجیرهای زنده و مرده در نظر گرفته شود، معادلات مربوط به متوسط عددی و وزنی وزن مولکولی و شاخص پراکندگی به ترتیب زیر نوشه می شوند:

$$\bar{M}_n^j = \frac{\mu_1^j + \lambda_1^j}{\mu_0^j + \lambda_0^j} \times M_0 \quad (25)$$

$$\bar{M}_w^j = \frac{\mu_2^j + \lambda_2^j}{\mu_1^j + \lambda_1^j} \times M_0 \quad (26)$$

$$PDI = \frac{\bar{M}_w^j}{\bar{M}_n^j} = \frac{(\mu_2^j + \lambda_2^j)(\mu_0^j + \lambda_0^j)}{(\mu_1^j + \lambda_1^j)^2} \quad (27)$$

در این معادلات، m_0 وزن مولکولی مونومر است.

برای به دست آوردن مقادیر معادلات (25) تا (27) باید مقادیر ممان های استفاده شده به شکل عددی به دست آید. با توجه به معادلات ممان ها، معادلات زیر برای ممان های صفرم تا دوم زنجیرهای زنده و مرده به دست می آیند:

$$\begin{aligned} \frac{d\lambda_0^j}{dt} &= [k_p^j [C^*]^j] + k_p^j [C^* - P_1^j] \left(\frac{1}{\alpha^j} - 1 \right) \\ &\quad + \left(k_{trM}^j + k_p^j \left(1 - \frac{1}{\alpha^j} \right) \right) \lambda_0^j [M] \end{aligned} \quad (28)$$

$$\begin{aligned} \frac{d\lambda_1^j}{dt} &= [k_p^j [C^*]^j] + k_p^j [C^* - P_1^j] \left(\frac{1}{\alpha^j} - 1 \right) \\ &\quad + (k_{trM}^j + k_p^j) \lambda_0^j + k_p^j \left(1 - \frac{1}{\alpha^j} \right) \lambda_1^j [M] \end{aligned} \quad (29)$$

$$\begin{aligned} \frac{d[C^* - P_n^j]}{dt} &= k_p^j [C^* - P_{n-1}^j] [M] \\ &\quad - (k_p^j [M] + k_{trH}^j [H_2] + k_{trM}^j [M] \\ &\quad + k_{trAl}^j [Al] + k_{t\beta}^j + k_d^j) [C^* - P_n^j] \end{aligned} \quad (14)$$

$$\begin{aligned} \frac{d[D_n^j]}{dt} &= (k_{trH}^j [H_2] + k_{trM}^j [M] \\ &\quad + k_{trAl}^j [Al] + k_{t\beta}^j + k_d^j) [C^* - P_n^j] \end{aligned} \quad (15)$$

در صورتی که α^j ، احتمال وقوع واکنش انتشار در مرکز نوع j در میان واکنش های انتشار و اختتام همان نوع مرکز باشد، مقدار آن به شکل زیر تعریف می شود:

$$\alpha^j = \frac{k_p^j [M]}{k_p^j [M] + k_{trH}^j [H_2] + k_{trM}^j [M] + k_{trAl}^j [Al] + k_{t\beta}^j + k_d^j} \quad (16)$$

معادلات (14) و (15) به روش مستقیم نیز حل می شوند، ولی برای کاهش مقدار محاسبات در حل عددی آن و به دست آوردن متوسط های عددی و وزنی وزن مولکولی (\bar{M}_n و \bar{M}_w) و شاخص پراکندگی (PDI) از معادلات ممان استفاده شده است.

برای زنجیرهای پلیمری در حال رشد مرکز فعال نوع j ، ممان k_m به شکل زیر تعریف می شود:

$$\lambda_k^j = \sum_{n=1}^{\infty} \left(n^k [C^* - P_n^j] \right) \quad (17)$$

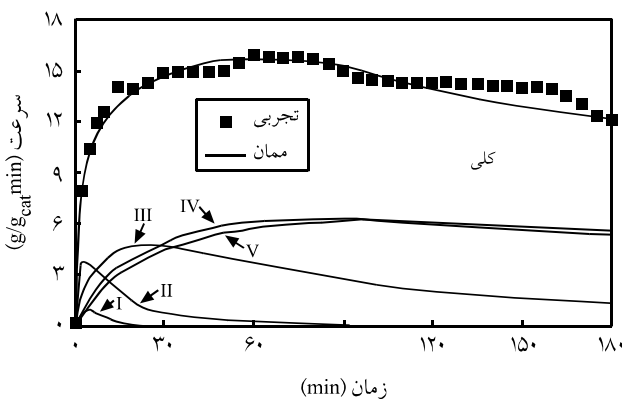
هم چنین، برای زنجیرهای پلیمری مرده تولید شده به وسیله مرکز فعال نوع j ، ممان k_m به شکل زیر تعریف می شود:

$$\mu_k^j = \sum_{n=1}^{\infty} \left(n^k [D_n^j] \right) \quad (18)$$

به این ترتیب با وارد کردن معادلات (16) تا (18) در معادلات موازنۀ مواد، معادلات (10) تا (15) به شکل زیر بازنویسی می شوند:

$$\frac{d[Al]}{dt} = - \left(\sum_{j=1}^5 k_i^j \right) [S][Al] - \left(\sum_{j=1}^5 \left(k_{trAl}^j \lambda_0^j \right) \right) [Al] \quad (19)$$

$$\begin{aligned} \frac{d[C^*]^j}{dt} &= k_i^j [S][Al] - k_p^j [M] [C^*]^j [M] \\ &\quad + \left(k_p^j [M] \left(\frac{1}{\alpha^j} - 1 \right) - k_d^j \right) \lambda_0^j \end{aligned} \quad (20)$$



شکل ۱- سینتیک هموپلیمرشدن اتیلن در دمای 85°C و غلظت $M/0.5$ (فشار اتیلن 0.7 MPa) در غیاب هیدروژن.

داده‌های مدل‌سازی با نتایج تجربی محاسبه شده است.

نتایج و بحث

سینتیک هموپلیمرشدن اتیلن

شکل ۱ سینتیک هموپلیمرشدن اتیلن را نشان می‌دهد. همان‌طور که از نتایج تجربی و مدل‌سازی ممان معلوم است، سرعت پلیمرشدن ابتدا با گذشت زمان واکنش افزایش می‌یابد که به سبب فعال شدن مراکز فعال به وسیله مونومر و کم بودن میزان غیرفعال شدن مراکز فعال است. سپس، سرعت به مقداری ثابت می‌رسد که می‌تواند به دلیل یکسان بودن سرعت‌های فعال شدن و غیرفعال شدن مراکز فعال و در نتیجه ثابت بودن غلظت مراکز فعال باشد. در مراحل پایانی واکنش با توجه به غلبه سرعت غیرفعال شدن مراکز فعال بر سرعت فعال شدن آنها غاظت

$$\frac{d\lambda_2^j}{dt} = [k_p^j[C^{*j}] + k_p^j[C^* - P_1^j](\frac{1}{\alpha_j} - 1)] \quad (30)$$

$$+ (k_{trM}^j + k_p^j)\lambda_0^j + 2k_p^j\lambda_1^j + k_p^j(1 - \frac{1}{\alpha_j})\lambda_2^j[M] \quad (30)$$

$$\frac{d\mu_0^j}{dt} = k_p^j[M](\frac{1}{\alpha_j} - 1)\lambda_0^j \quad (31)$$

$$\frac{d\mu_1^j}{dt} = k_p^j[M](\frac{1}{\alpha_j} - 1)\lambda_1^j \quad (32)$$

$$\frac{d\mu_2^j}{dt} = k_p^j[M](\frac{1}{\alpha_j} - 1)\lambda_2^j \quad (33)$$

هم‌چنان، برای به دست آوردن سرعت واکنش به شکل $\text{kg}/\text{g}_{\text{cat}}^{\text{min}}$ از معادله زیر استفاده شده است:

$$\frac{1}{V} \frac{d[M]}{dt} = \frac{R_p(10^3)(T_i)}{M_{wm} \times 3600} \quad (34)$$

در این معادله، T_i مقدار تیتانیم کل در کاتالیزور بر حسب گرم، R_p سرعت واکنش بر حسب $\text{kg}/\text{g}_{\text{cat}}^{\text{min}}$ پلیمر است [۲۳].

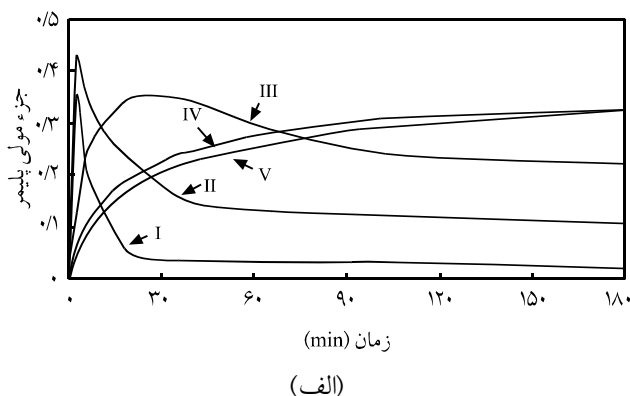
در این معادلات برای مدل‌سازی از غلظت توده استفاده و از پدیده‌های انتقال گرما صرف نظر شده است و از معادله حالت گاز ایده‌آل برای تبدیل فشارها به غلظت استفاده شده است. هم‌چنان، با توجه به این که در طول واکنش سعی شده است فشار مونومر ثابت بماند، فرض شده است که غلظت مونومر موجود در فاز واکنش نیز ثابت است. هم‌چنان برای حل معادلات ممان به شکل عددی از روش گیر (Gears Method) استفاده شده است [۲۲]. مقادیر ثوابت سرعت استفاده شده در جدول ۱ آورده شده است. $k_{t\beta}$ با استفاده از تطبیق

جدول ۱- مقادیر ثابت‌های سینتیکی استفاده شده در شبیه‌سازی واکنش پلیمرشدن اتیلن در دمای 85°C

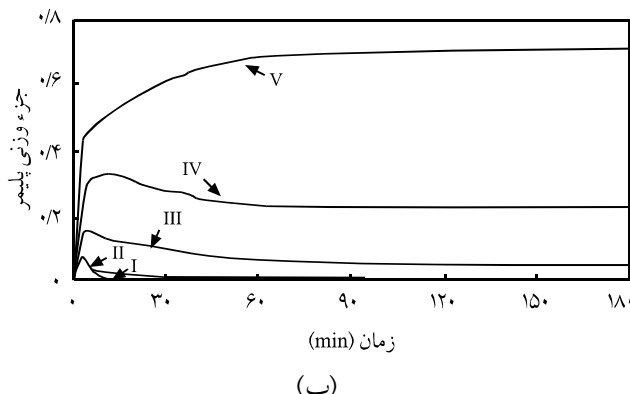
نحوه پلیمر					مرجع	واحد	پارامتر
V	IV	III	II	I			
۰/۰۴	۰/۰۶	۰/۰۴	۰/۱۵	۰/۰۴	[۲]	$\text{M}^{-1} \cdot \text{min}^{-1}$	k_i
6×10^{-4}	[۲]	$\text{M}^{-1} \cdot \text{min}^{-1}$	k_p				
۰/۰۰۳	۰/۰۰۶	۰/۰۱۵	۰/۰۵	۰/۲	[۱-۳]	-	k_{trH} / k_p
۰/۰۰۰۳	۰/۰۰۰۱	۰/۰۰۰۴	۰/۰۰۱	۰/۰۰۳	[۱-۳]	-	k_{trM} / k_p
۰/۰۰۳	۰/۰۰۶	۰/۰۱	۰/۰۵	۰/۳	[۱-۳]	-	k_{trAl} / k_p
۱۰	۲۵	۴۰	۵۵	۶۰	-	min^{-1}	$k_{t\beta}$
۰/۰۰۰۹	۰/۰۰۰۹	۰/۰۰۰۷	۰/۰۱۸	۰/۰۷	[۲]	min^{-1}	k_d

فعال تقریباً یکسانی دارند. در باره غیرفعال شدن نیز مراکز IV و V کمترین سرعت غیرفعال شدن را دارند و شاید بتوان چنین عنوان کرد که مراکز V و سپس مرکز IV پایدارترین مراکز فعال در طول پلیمرشدن هستند.

شکل ۲ تغییرات جزء مولی لحظه‌ای مراکز فعال مختلف را با زمان نشان می‌دهد. در واقع این نمودارها نشان‌دهنده غلظت مراکز فعال مختلف در حال واکنش هستند. برای به دست آوردن جزء مولی هر یک از مراکز فعال مقدار غلظت مرکز فعال آن جزء بر غلظت کل مراکز فعال تقسیم شده است. همه این مقادیر با استفاده از روابط ممان‌ها (λ_0^1) حاصل شده است. همان‌طور که از این نمودارها برمی‌آید، در ابتدای واکنش بیشترین مقدار پلیمر به وسیله مراکز I و II تولید می‌شود و مراکز IV و V کمترین سهم را در تولید پلیمر دارند. اما، مراکز فعال I و II بعد از مدت زمان معینی کاملاً غیرفعال می‌شوند و مراکز فعال IV و V بیشترین سهم را در تولید مراکز فعال و واکنش به خود اختصاص می‌دهند که نتیجه آن افزایش سهم این مراکز در پلیمر نهایی است. نتایج



(الف)

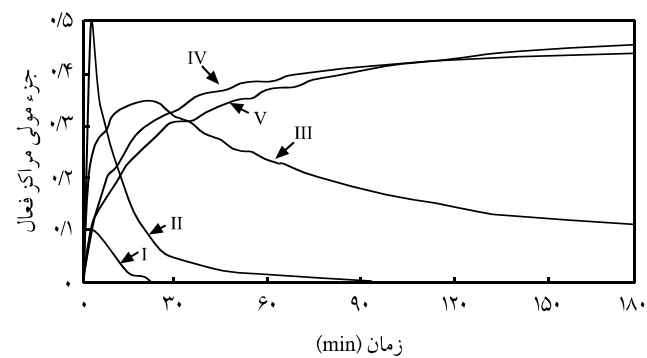


(ب)

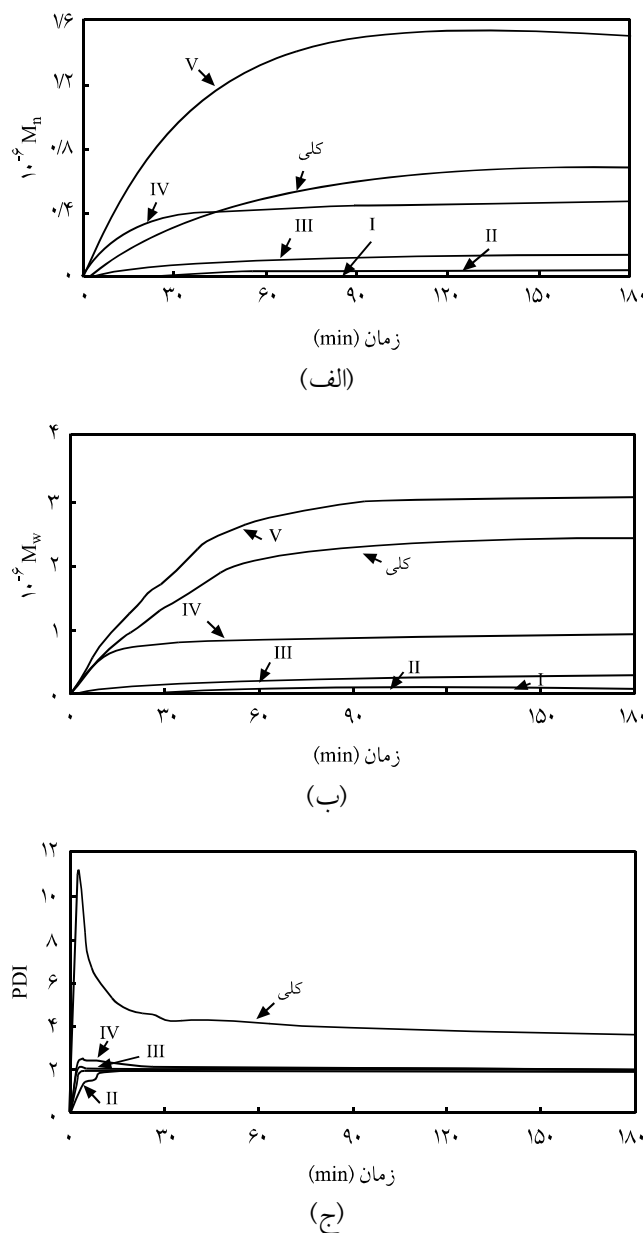
شکل ۳ - تغییرات پلیمر تولیدشده به وسیله هر مرکز فعال بر حسب زمان برای واکنش هموپلیمرشدن اتیلن: (الف) تغییرات جزء مولی و (ب) تغییرات جزء وزنی (شرایط واکنش مانند شکل ۱ است).

مراکز فعال و در پی آن سرعت پلیمرشدن کاهش می‌یابد. در ابتدای واکنش وزن مولکولی بیشتر از آن که تحت تأثیر واکنش‌های انتقال و غیرفعال شدن مراکز فعال باشد، از غلظت مراکز فعال تأثیر می‌پذیرد. هم چنین معادله (۱) نشان می‌دهد که سرعت تشکیل مراکز فعال با پیش‌رفت واکنش کاهش می‌یابد. زیرا، هم غلظت کاتالیزور و هم غلظت کمک کاتالیزور کاهش می‌یابد. بنابراین، وزن مولکولی بالاخره افزایش می‌یابد و به مقداری ثابت می‌رسد. پس از زمان‌های اولیه پلیمرشدن وزن مولکولی تحت تأثیر سرعت‌های انتشار و اختتام قرار می‌گیرد. هم چنین، نتایج مدل‌سازی با استفاده از معادلات ممان‌ها تطابق خوبی با نتایج تجربی نشان می‌دهد. البته در برخی زمان‌های واکنش سرعت محاسبه شده به کمک مدل‌سازی مقداری کمتر از سرعت تجربی است که احتمالاً دلیل آن افزایش موضعی دما در اثر واکنش مونومر با کاتالیزور است که باعث افزایش فعالیت کاتالیزور و در نتیجه افزایش سرعت مصرف مونومر می‌شود.

شکل ۱ نشان می‌دهد، سرعت مراکز مختلف با زمان تغییرات زیادی می‌کند. در زمان‌های اولیه واکنش مرکز فعال II بیشترین سرعت و مرکز فعال I کمترین سرعت را دارند. اما، با پیش‌رفت واکنش سرعت مراکز IV و V بیشتر می‌شود و در زمان‌های پایانی مرکز V بیشترین سرعت را دارد. بعد از گذشت حدود ۲۵ min از واکنش مراکز فعال نوع I و پس از حدود ۹۵ min مراکز فعال نوع II کاملاً غیرفعال شده و سرعت آنها به صفر می‌رسد. در واقع این امر تعیین می‌کند که در نهایت پلیمر تولیدشده باید مقدار زیادی از پلیمرهای تولیدشده به وسیله مراکز نوع IV، III، IV و V داشته باشد که نتایج تجربی و مدل‌سازی گواه این موضوع است. هم چنین، با توجه به شبیه نیم رخ‌های سرعت چنین نتیجه می‌شود که بیشترین سرعت تشکیل مراکز فعال در ابتدای واکنش مربوط به مرکز II و سپس III است و بقیه مراکز سرعت تشکیل مراکز



شکل ۲ - تغییرات جزء مولی مراکز فعال مختلف با زمان برای هموپلیمرشدن اتیلن (شرایط واکنش مانند شکل ۱ است).



شکل ۴ - تغییرات: (الف) متوسط عددی وزن مولکولی، (ب) متوسط وزنی وزن مولکولی و (ج) شاخص پراکندگی پلیمر تولیدشده بر حسب زمان واکنش هموپلیمر شدن اتیلن (شرایط واکنش مشابه شکل ۱ است).

مختلف، به غیر از مدت زمان کمی از شروع واکنش، ۲ است که در سایر پژوهش‌های نیز به آن اشاره شده است [۱۶، ۱۸، ۱۹]. در ابتدای واکنش مراکز III و V انحراف مثبت و مرکز II انحراف منفی کمی از مقدار ۲ نشان می‌دهند که این امر می‌تواند به دلیل عدم حصول حالت پایدار برای واکنش پلیمر شدن از نظر مقدار فعال و غیرفعال شدن مراکز باشد. در واقع این نتایج نشان می‌دهد که نتایج پژوهشگران قبلی در ارتباط با پیروی توزیع مراکز فعال کاتالیزورهای ناهمگن زیگلر - ناتا از توزیع

به دست آمده برای سرعت پلیمر شدن (شکل ۱) نیز طول عمر کوتاه مراکز I و II را نشان می‌دهند.

شکل ۳ تغییرات پلیمر تولیدشده به وسیله هر مرکز فعال را در طول واکنش نشان می‌دهد. همان‌طور که از شکل ۳ - الف معلوم است، مراکز فعال IV و V بیشترین سهم را در تولید پلیمر نهایی دارند. به منظور بررسی دقیق‌تر این تغییرات، در شکل ۳ - ب، مقدار جزء وزنی پلیمر تولیدشده به وسیله مراکز فعال مختلف نیز آورده شده است. همان‌طور که از این شکل مشخص است، مراکز فعال I و II به مقدار بسیار جزئی پلیمر تولید می‌کنند که در واقع در مقایسه با سایر اجزای فعال می‌توان از آنها صرف نظر کرد. هم‌چنین، نتایج مدل‌سازی نشان می‌دهد که مقدار قابل ملاحظه‌ای از پلیمر نهایی به وسیله مراکز فعال نوع V به دست می‌آید. در جدول ۲ سهم مراکز فعال مختلف آورده شده و با داده‌های تجربی کیسین و همکاران به طور جمالی مقایسه شده است.

در شکل ۴ نیم‌رخ‌های متوسط عددی وزن مولکولی (الف)، متوسط وزنی وزن مولکولی (ب) و نیز شاخص پراکندگی با زمان آورده شده است. همان‌طور که از شکل ۴ - الف و ب مشخص است، ترتیب بیشترین وزن مولکولی پلیمر تولیدشده به وسیله مراکز به شکل زیر است:

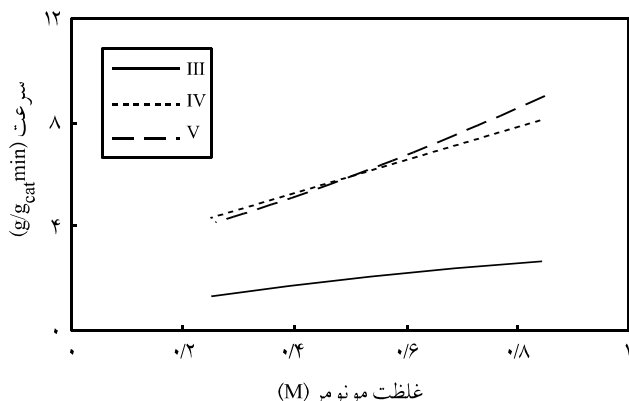
$$V > IV > III > II > I$$

همان‌طور که در شکل مشاهده می‌شود، وزن مولکولی پلیمرهای تولیدشده به وسیله مراکز فعال I و II بسیار کم و وزن مولکولی تولیدشده به وسیله مرکز V زیاد است. هم‌چنین، برای انجام مقایسه وزن مولکولی کلی پلیمر تولیدشده بدون درنظر گرفتن تنوع مراکز فعال آورده شده است.

شکل ۴ - ج نیم‌رخ‌های شاخص پراکندگی مراکز فعال مختلف و شاخص پراکندگی پلیمر را بدون در نظر گرفتن تنوع مراکز فعال نشان می‌دهد. همان‌طور که مشاهده می‌شود شاخص پراکندگی مراکز فعال

جدول ۲ - مقایسه نتایج حاصل از مدل‌سازی از داده‌های تجربی کیسین در ارتباط با سهم مراکز فعال مختلف در پلیمر نهایی (نتایج تجربی بعد از ۴ h و نتایج مدل‌سازی بعد از ۳ h از انجام واکنش، شرایط واکنش مشابه شکل ۱ است).

نوع مرکز فعال	نتایج تجربی کیسین [۲۴]	نتایج مدل سازی
I	-	%۷۹/۳
II	%۴/۸	%۱۰/۶۸
III	%۱۵/۲	%۲۲/۲۱
IV	%۴۵/۲	%۳۲/۷۳
V	%۳۴/۸	%۳۲/۴۵



شکل ۶ - تغییرات سرعت هموپلیمرشدن اتیلن به وسیله مراکز فعال مختلف در دمای 85°C پس از ۲ h.

می‌یابد. این امر نشان می‌دهد که با افزایش غلظت مونومر سرعت فعال‌سازی مراکز فعال افزایش می‌یابد که دلیل آن می‌تواند پیشرفت واکنش تعادلی تشکیل کمپلکس بنا آگوستینک برای تبدیل بیشتر کمپلکس پایدار به کمپلکس فعال باشد [۲۴]. در شکل ۶ تغییرات سرعت پلیمرشدن بر حسب غلظت مونومر بعد از زمان ۲h آورده شده است. همان‌طور که در شکل مشاهده می‌شود تقریباً یک رابطه خطی میان غلظت مونومر و سرعت پلیمرشدن وجود دارد. با توجه به این نتایج، مقادیر مرتبه پلیمرشدن نسبت به غلظت مونومر برای مراکز فعال مختلف به دست آمده و در جدول ۴ آورده شده است. براساس این جدول مرتبه پلیمرشدن نسبت به غلظت مونومر برای این مراکز بزرگ‌تر از یک است که این امر یکی از ویژگی‌های خاص پلیمرشدن اتیلن است که قبلاً نیز مطالعه شده است [۱۸، ۱۹]. هم‌چنان مشاهده می‌شود که مرکز فعال V با توجه به مرتبه پلیمرشدن حساسیت بیشتری به غلظت مونومر دارد و حساسیت مراکز نسبت به غلظت مونومر در کل به ترتیب زیر است:

$$\text{V} > \text{IV} > \text{III} > \text{II} > \text{I}$$

شکل ۷ بازده کاتالیزور را در غلظت‌های مختلف مونومر پس از ۳ h

جدول ۴ - مقادیر مرتبه پلیمرشدن اتیلن نسبت به غلظت مونومر برای مراکز فعال مختلف در دمای 85°C

درجه پلیمر شدن	مرکز فعال
۲/۱	III
۲/۴	IV
۲/۶۱	V

جدول ۳ - مقایسه نتایج حاصل از مدل‌سازی با داده‌های تجربی در ارتباط با متoste‌های وزن مولکولی و شاخص پراکندگی پلیمر نهایی (نتایج پس از ۳ h از انجام واکنش و شرایط واکنش مانند شکل ۱ است).

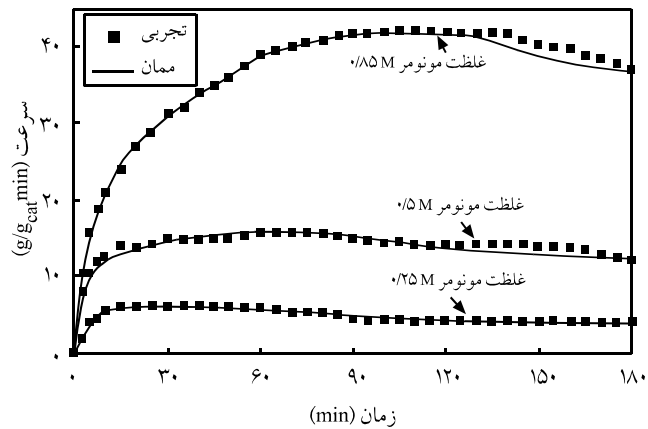
شاخص	نتایج تجربی	نتایج مدل‌سازی
\bar{M}_n	۷۱۴۳۰۰	۶۸۶۸۰۰
\bar{M}_w	۲۵۱۰۶۰۰	۲۳۹۸۰۰
PDI	~۳/۵۱۵	۳/۴۹۲

شولتز-فلوری در این جانیز صادق است. در این شکل مشاهده می‌شود که توزیع وزن مولکولی کلی پلیمر بدون درنظر گرفتن تنوع مراکز فعال بعد از رسیدن به حالت تقریباً پایدار در حدود ۴ است که این امر و نیز روند تغییرات شاخص پراکندگی تعیت توزیع وزن مولکولی پلیمر نهایی را از تابع توزیع شولتز-فلوری، که در برخی از مراجع آمده است [۱۶] رد می‌کند.

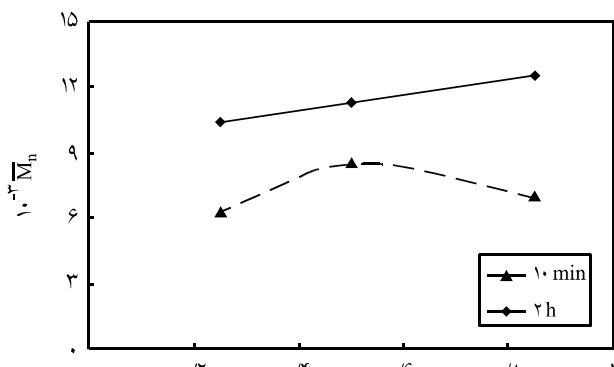
در جدول ۳ مقادیر محاسبه شده و تجربی متoste‌های وزن مولکولی و شاخص پراکندگی آورده شده است. مقایسه نشان می‌دهد که نتایج مدل‌سازی تطبیق نسبتاً خوبی با نتایج تجربی دارند.

اثر غلظت مونومر روی سینتیک هموپلیمرشدن

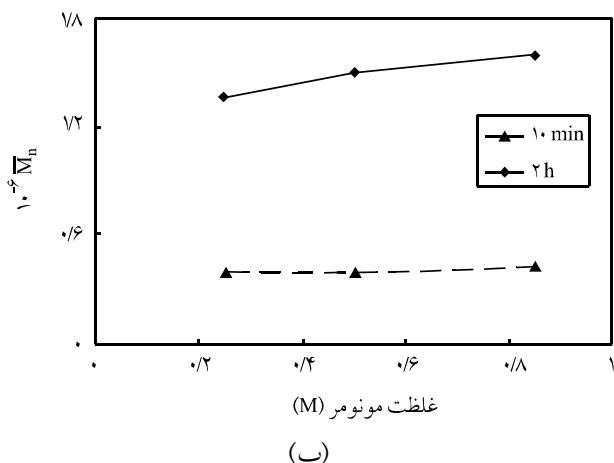
شکل ۵ سینتیک هموپلیمرشدن اتیلن را در سه غلظت مختلف نشان می‌دهد. با توجه به شکل مشاهده می‌شود که نتایج مدل‌سازی با استفاده از معادلات ممان‌ها تطبیق خوبی با نتایج تجربی دارند. با افزایش غلظت مونومر شیب منحنی نیم رخ سرعت در زمان‌های ابتدایی واکنش افزایش



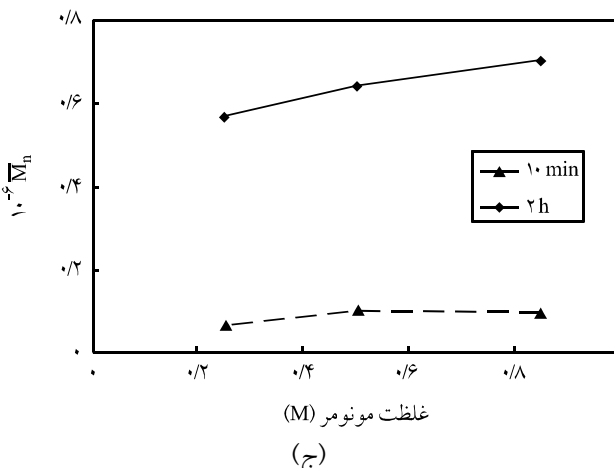
شکل ۵ - سینتیک هموپلیمرشدن اتیلن در دمای 85°C و غلظت‌های مختلف اتیلن (فشارهای مرتبط با غلظت‌های $0/25$ ، $0/5$ و $0/85$ M) به ترتیب عبارتند از: $0/35$ ، $0/7$ و $0/72$ MPa.



(الف)



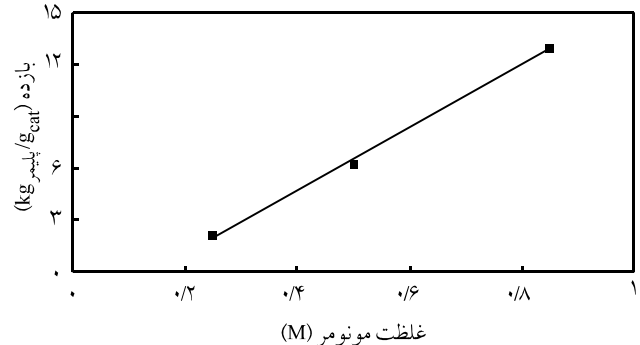
(ب)



(ج)

شکل ۸ - تغییرات متوسط عددی وزن مولکولی با غلهٔت مونومر در دمای 85°C در زمان‌های اولیه و نهایی واکنش: (الف) مرکز فعال نوع I، (ب) مرکز فعال نوع VII و (ج) متوسط عددی وزن مولکولی بدون در نظر گرفتن تنوع مراکز فعال.

می‌یابد. در زمان‌های پایانی واکنش با توجه به کاهش غلهٔت مراکز فعال، واکنش انتشار بر واکنش انتقال به مونومر غلبه می‌کند و در نتیجه



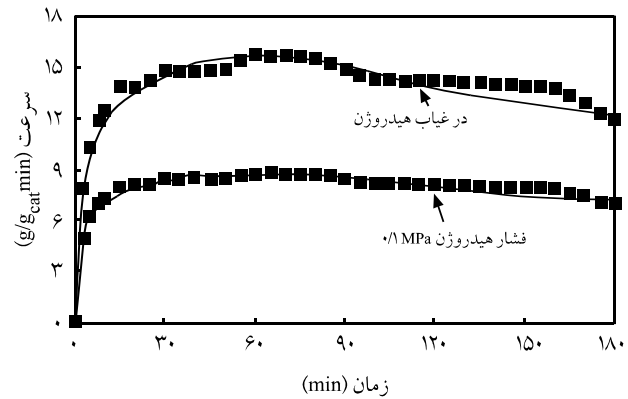
شکل ۷ - تغییرات بازده کاتالیزور با غلهٔت اتیلن در دمای 85°C بعد از گذشت ۳ h از زمان واکنش.

نشان می‌دهد. واضح است که با افزایش غلهٔت مونومر بازده کاتالیزور نیز به مقدار زیادی افزایش می‌یابد به طوری که با افزایش غلهٔت از 0.25 M به 0.85 M این مقدار تقریباً ۶ برابر شده است. با توجه به شکل ملاحظه می‌شود که رابطه‌ای تقریباً خطی میان غلهٔت مونومر و بازده کاتالیزور در محدوده بررسی شده در این پژوهش وجود دارد. پیش‌بینی می‌شود، با افزایش غلهٔت مونومر، با توجه به محدودبودن تعداد مراکز فعال کاتالیزور در واحد وزن آن، بازده کاتالیزور به مقداری ثابت برسد.

در شکل ۸ تغییرات متوسط عددی وزن مولکولی برای مراکز I و VII متوسط عددی وزن مولکولی بدون در نظر گرفتن مراکز فعال نشان داده شده است. تغییرات نشان می‌دهند که اثر مونومر بر متوسط عددی وزن مولکولی باید در دو ناحیه زمان‌های نخستین انجام واکنش و زمان‌های پایانی بررسی شود. با توجه به نتایج \bar{M}_n مرکز I در زمان‌های اولیه با افزایش غلهٔت مونومر ابتدا افزایش و سپس کاهش می‌یابد، در حالی که در زمان‌های پایانی واکنش با از دیداد غلهٔت مونومر \bar{M}_n پیوسته افزایش می‌یابد. با توجه به نوع افزایش انتظار می‌رود که بعد از غلهٔت معینی به مقداری ثابت برسد. این امر برای مراکز II و III نیز مشاهده شده است و دلیل آن می‌تواند تقابل اثر فعال‌سازی کاتالیزور به وسیله مونومر، سرعت انتشار و سرعت انتقال به مونومر باشد. در زمان‌های اولیه با افزایش غلهٔت مونومر مراکز فعال بیشتری در واکنش انتشار شرکت می‌کنند و در نتیجه سرعت انتشار افزایش می‌یابد و بر سرعت انتقال به مونومر غلبه می‌کند. بنابراین، وزن مولکولی پلیمر افزایش می‌یابد. ولی پس از غلهٔت معینی چون غلهٔت مراکز فعال در محیط بسیار زیاد می‌شود، واکنش انتقال به مونومر نیز افزایش پیدا می‌کند و در برخی موارد بر واکنش انتشار غلبه می‌کند که نتیجه آن کاهش \bar{M}_n است. این امر در مرکز فعال I که بیشترین میزان انتقال به مونومر را دارد، بیشتر مشاهده می‌شود در حالی که در مراکز فعال نوع IV بعد از غلهٔت معین مونومر، \bar{M}_n ثابت می‌ماند و در مراکز فعال نوع V پیوسته افزایش

جدول ۵ - مقایسه نتایج حاصل از مدل‌سازی با داده‌های تجربی در ارتباط با سهم مراکز فعال مختلف در پلیمر نهایی در فشار $0/1 \text{ MPa}$ هیدروژن (نتایج پس از 3 h و سایر شرایط واکنش مانند شکل ۱ است).

نوع مرکز فعال	نتایج تجربی کیسین [۲۴]	نمودار	نمودار
نوع مرکز فعال	نمودار	نمودار	نمودار
I	$\frac{1}{4}4/43$	$\frac{1}{4}4/43$	$\frac{1}{4}4/43$
II	$\frac{1}{5}9/6$	$\frac{1}{5}9/6$	$\frac{1}{5}9/6$
III	$\frac{1}{8}8/31$	$\frac{1}{8}8/31$	$\frac{1}{8}8/31$
IV	$\frac{1}{4}2/25$	$\frac{1}{4}2/25$	$\frac{1}{4}2/25$
V	$\frac{1}{2}5/0/0$	$\frac{1}{2}5/0/0$	$\frac{1}{2}5/0/0$



شکل ۹- سینتیک هموپلیمرشدن اتیلن و فشار $0/1 \text{ MPa}$ هیدروژن (سایر شرایط واکنش مانند شکل ۱ است).

مجاورت هیدروژن نشان می‌دهد. نتایج نشان می‌دهد هیدروژن فعالیت کلی کاتالیزور را کاهش می‌دهد. در واقع با افزایش فشار هیدروژن از صفر به $0/1 \text{ MPa}$ در طول واکنش فعالیت کاتالیزور تقریباً نصف شده است. اما، سینتیک واکنش (یعنی روند افزایش یا کاهش سرعت پلیمرشدن) تغییر نمی‌کند. این بدين معنی است که هیدروژن روی شیمی فعال شدن و پایداری مراکز فعال اثر نمی‌گذارد. هم‌چنین، شکل ۱۰ نشان می‌دهد که سینتیک واکنش مراکز مختلف نیز با زمان تغییر چندانی نکرده است. بنابراین می‌توان نتیجه گرفت، هیدروژن روی همه مراکز فعال اثر تقریباً یکسانی می‌گذارد. در جدول ۵ سهم هر یک از مراکز فعال در ترکیب پلیمر نهایی آورده شده است. نتایج نشان می‌دهد که با افزایش غلظت هیدروژن تغییر خاصی در ترکیب درصد مراکز مختلف انجام نشده است.

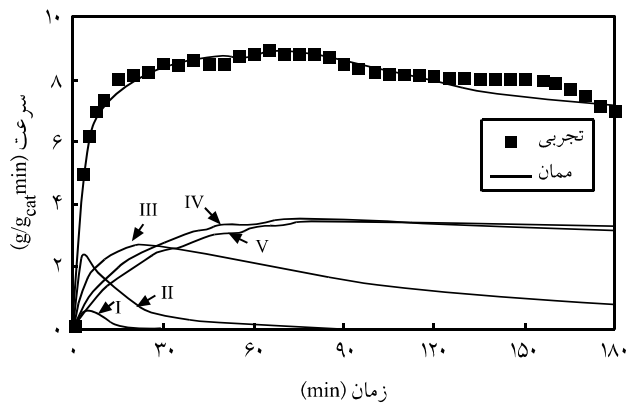
در شکل ۱۱ نتایج مدل‌سازی اثر فشار هیدروژن برای مراکز II و IV و حالت کلی آورده شده و در جدول ۶ نتایج نهایی با نتایج تجربی مقایسه شده است. مشاهده می‌شود، با وارد کردن مقدار کمی هیدروژن وزن مولکولی پلیمر به شدت افت می‌کند که این امر به دلیل اثر واکنش‌های

جدول ۶ - مقایسه نتایج حاصل از مدل‌سازی با داده‌های تجربی در ارتباط با متوسط‌های وزن مولکولی و شاخص پراکندگی پلیمر نهایی در فشار $0/1 \text{ MPa}$ هیدروژن (نتایج پس از 3 h از انجام واکنش و سایر شرایط واکنش مانند شکل ۱ است).

شاخص	نتایج تجربی	نتایج مدل سازی
M_n	120566	101325
M_w	476225	373890
PDI	$3/95$	$3/69$

M_n دوباره افزایش پیدا می‌کند. مقدار افزایش در مراکز نوع V از همه مراکز بیشتر و در مراکز نوع I از همه کمتر است.

اثر هیدروژن روی سینتیک هموپلیمرشدن اتیلن
هیدروژن معمولاً به عنوان عامل انتقال زنجیر و برای کنترل وزن مولکولی پلیمر و در نتیجه افزایش فرایندپذیری آن به کار می‌رود. اثر قابل توجه غیرفعال کنندگی هیدروژن روی کاتالیزورهای زیگلر- ناتات بر پایه $MgCl_2/TiCl_4$ به خوبی بررسی شده است. کیسین و همکاران گزارش کرده‌اند که اثر غیرفعال سازی هیدروژن به دلیل تشکیل کوئور دیناسیون بتا‌آگوستیک، به وسیله اتم هیدروژن با گروه اتیلنی، هنگام افزوده شدن اولین مونومر بعد از انجام واکنش انتقال به هیدروژن است [۱۹]. شکل ۹ سینتیک هموپلیمرشدن اتیلن را در دمای 85°C و در



شکل ۱۰- تفکیک نیم‌رخ سرعت هموپلیمرشدن اتیلن به نیم‌رخ‌های سرعت مراکز فعال مختلف و فشار $0/1 \text{ MPa}$ هیدروژن (سایر شرایط واکنش مانند شکل ۱ است).

جدول ۷ - مقایسه نتایج حاصل از مدل سازی در غلظت‌های مختلف از کمک کاتالیزور در ارتباط با سهم مرکز فعال مختلف در پلیمر نهایی (نتایج پس از ۳ h و شرایط واکنش مانند شکل ۱ است).

$[Al]/[Ti] = 558$	$[Al]/[Ti] = 128$	نوع مرکز فعال
%۳/۱۵	%۷۹۳	I
%۹/۰۹	%۱۰/۶۸	II
%۲۳/۳۷	%۲۲/۲۱	III
%۳۶/۵۸	%۳۷/۷۳	IV
%۲۷/۸۱	%۳۲/۴۵	V

جدول ۸ - مقایسه نتایج حاصل از مدل سازی در غلظت‌های مختلف از کمک کاتالیزور در ارتباط با متوسط‌های وزن مولکولی و شاخص پراکندگی پلیمر نهایی (نتایج پس از ۳ h و شرایط واکنش مانند شکل ۱ است).

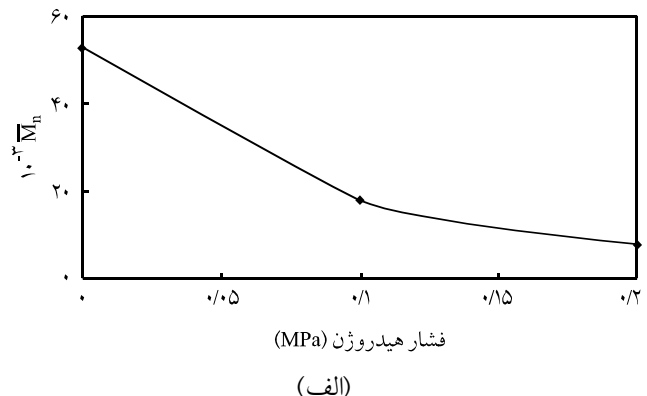
$[Al]/[Ti] = 558$	$[Al]/[Ti] = 128$	شاخص
۵۴۰۰۶۳	۶۸۶۸۰۰	\bar{M}_n
۲۱۲۲۸۶۰	۲۳۹۸۰۰۰	\bar{M}_w
۵۴۰۰۶۳	۳۴۹۲	PDI

جدول ۹ - مقایسه نتایج حاصل از مدل سازی در غلظت‌های مختلف از کمک کاتالیزور در ارتباط با متوسط عددی وزن مولکولی مرکز فعال مختلف (نتایج پس از ۳ h و شرایط واکنش مانند شکل ۱ است).

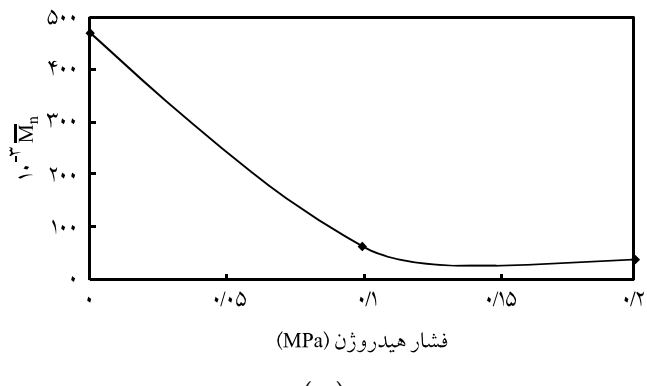
$[Al]/[Ti] = 558$	$[Al]/[Ti] = 128$	نوع مرکز فعال
۶۶۷۸	۱۱۲۶۲	I
۴۱۹۳۳	۵۳۰۲۵	II
۱۲۹۷۰۵	۱۵۲۰۱۱	III
۳۹۱۸۴۸	۴۷۶۰۱۵	IV
۱۱۷۲۹۳۱	۱۵۱۴۱۹۶	V

اثر کمک کاتالیزور روی سینتیک هموپلیمرشدن آتیلن

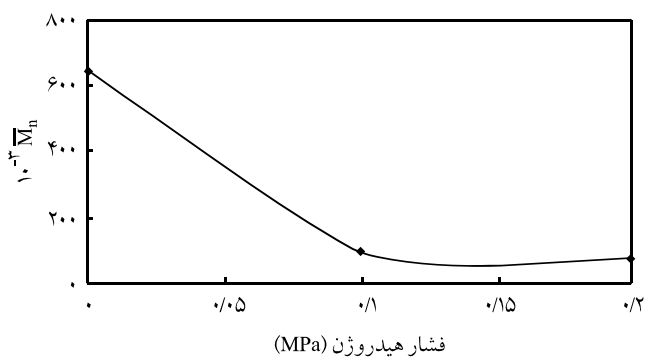
در سامانه‌های کاتالیزوری زیگلر - ناتا، کمک کاتالیزور آلکیل آلومینیم مانند، تری اتیل آلومینیم، برای فعال سازی کاتالیزور آن به کار می‌رود. کمک کاتالیزور نیز می‌تواند روی فعالیت سامانه کاتالیزوری، وزن مولکولی و توزیع وزن مولکولی پلیمر تولید شده اثرگذار باشد. کمک کاتالیزور نیز با مرکز فعال کاتالیزور کمپلکس تشکیل می‌دهد و آنها را



(الف)



(ب)



(ج)

شکل ۱۱ - تغییرات متوسط عددی وزن مولکولی با فشار هیدروژن در دمای 85°C پس از ۲h از شروع واکنش: (الف) مرکز فعال نوع II، (ب) مرکز فعال نوع IV و (ج) متوسط عددی وزن مولکولی بدون در نظر گرفتن تنوع مرکز فعال.

انتقال به هیدروژن و هم چنین کاهش فعالیت کاتالیزور به وسیله هیدروژن است. با افزایش فشار هیدروژن شدت کاهش کمتر می‌شود و انتظار می‌رود که از فشار معینی به بعد وزن مولکولی ثابت بماند. هم چنین، نتایج نشان می‌دهند که هیدروژن اثر چندان زیادی روی شاخص پراکندگی ندارد و در این کار مقدار کمی آن را افزایش داده است.

معادلات ممان‌ها مدل سازی شد. برای مدل سازی، ساز و کاری شامل پنج نوع مرکز فعال در نظر گرفته شد. سینتیک بررسی شده به خوبی نتایج تجربی را پیش بینی می‌کند. نتایج نشان می‌دهد پایداری مراکز فعال مختلف در طول پلیمرشدن، سهم آنها در پلیمر نهایی و مقدار وزن مولکولی پلیمرهای تولید شده به وسیله هر مرکز به ترتیب زیر است:

$$V > IV > III > II > I$$

بررسی‌ها نشان می‌دهد، توزیع همه مراکز فعال از تابع توزیع فلوری پیروی می‌کند، در حالی که برای پلیمر نهایی چنین امری صادق نیست. مرتبه پلیمرشدن نسبت به غلظت مونومر برای مراکز مختلف از ۱ بزرگ‌تر است. با افزایش غلظت مونومر نیز بسته به زمان واکنش وزن مولکولی ممکن است کاهش یا افزایش یابد، ولی بازده کاتالیزور افزایش پیدا می‌کند. هیدروژن فعلیت مراکز مختلف را به شدت کاهش می‌دهد، ولی اثری بر روند تغییرات سرعت پلیمرشدن ندارد. هم چنین، هیدروژن وزن مولکولی را به شدت کاهش می‌دهد، ولی اثر خاصی بر شاخص پراکندگی ندارد و فقط آن را به مقدار بسیار جزئی افزایش می‌دهد. با افزایش زیاد مقدار کمک کاتالیزور در سامانه نیز سهم مراکز مختلف در پلیمر نهایی تغییر چندانی نمی‌کند، ولی وزن مولکولی اجزای مختلف کاهش می‌یابد.

برای پلیمر شدن فعال می‌کند. این ترکیب به عنوان ریاضیه سوم در محیط واکنش و عامل انتقال زنجیر به کار می‌رود [۱-۴]. در جدول ۷ نتایج حاصل از مدل سازی در ارتباط با سهم مراکز فعال مختلف در پلیمر نهایی آورده شده است. همان‌طور که از نتایج معلوم است، با افزایش غلظت کمک کاتالیزور سهم مراکز مختلف تغییر چندانی نکرده است و تنها سهم مراکز نوع V کاهش و مراکز نوع IV افزایش یافته است. در نتیجه انتظار می‌رود، وزن مولکولی پلیمر نهایی با توجه به کاهش سهم مرکز V کاهش یابد. هم چنین، با افزایش غلظت کمک کاتالیزور وزن مولکولی پلیمر تولید شده به دلیل افزایش واکنش‌های انتقال زنجیر کاهش می‌یابد و روی همه مراکز فعال اثر نسبتاً یکسانی می‌گذارد و فعلیت آنها را کاهش می‌دهد. البته در غلظت زیاد کمک کاتالیزور مرکز فعال نوع اول را بیشتر تحت تأثیر قرار می‌دهد (جدول‌های ۸ و ۹). البته ذکر این نکته ضروری است که در حالتی که غلظت زیاد کمک کاتالیزور در مقایسه با مونومر کم باشد، می‌توان از واکنش‌های انتقال به کمک کاتالیزور در مقایسه با واکنش‌های انتقال به هیدروژن و مونومر صرف نظر کرد.

نتیجه‌گیری

هموپلیمرشدن اتیلن در حضور کاتالیزور زیگلر - ناتا با استفاده از

مراجع

- Kissin Y.V., Mink R.I., Nowlin T.E., and Borandolini A.J., Kinetics and Mechanism of Ethylene Homopolymerization and Copolymerization Reactions with Heterogeneous Ti-based Ziegler-Natta Catalysts, *Top Catal.*, **7**, 69-88, 1999.
- Kissin Y.V., Mink R.I., and Nowlin T.E., Ethylene Polymerization Reactions with Ziegler-Natta Catalysts. I. Ethylene Polymerization Kinetics and Kinetic Mechanism, *J. Polym. Sci., Part A: Polym. Chem.*, **37**, 4255-4272, 1999.
- Kissin Y.V., Multicenter Nature of Titanium-based Ziegler-Natta Catalysts: Comparison of Ethylene and Propylene Polymerization Reactions, *J. Polym. Sci., Part A: Polym. Chem.*, **41**, 1745-1758, 2003.
- Kissin Y.V., Chadwick J.C., Mingozzi I., and Morini G., Isoselectivity Distribution of Isospecific Centers in Supported Titanium-Based Ziegler-Natta Catalysts, *Macromol. Chem. Phys.*, **206**, 961-966, 2006.
- Burfield D.R., McKenzie I.D., and Tait P.J.T., Ziegler-Natta Catalysis: 1. A General Kinetic Scheme, *Polymer*, **13**, 302-306, 1972.
- McKenzie I.D., Tait P.J.T., and Burfield D.R., Ziegler-Natta Catalysis: 2. A Kinetic Investigation, *Polymer*, **13**, 307-314, 1972.
- Burfield D.R., and Tait P.J.T., Ziegler-Natta Catalysis: 3. Active Centre Determination, *Polymer*, **13**, 315-320, 1972.
- Zakharov V.A., Chumakov N.B., Bukatov G.D., and Yermakov Y., Study of the Mechanism of Propagation and Transfer Reactions in the Polymerization of Olefins by Ziegler-Natta Catalysts, 2. The Influence of Polymerization Temperature on the Kinetic Characteristics of Propagation, *Makromol. Chem.*, **177**, 763-775, 1976.
- Zakharov V.A., Bukatov G.D., Chumakov N.B., and Yermakov Y., Study of the Mechanism of Propagation and Transfer Reactions in the Polymerization of Olefins by Ziegler-Natta Catalysts, 4. The Kinetic Scheme for Propagation and Chain Trans-

- fer Reactions, *Makromol. Chem.*, **178**, 967-980, 1977.
10. Böhm L.L., Reaction Model for Ziegler-Natta Polymerization Processes, *Polymer*, **19**, 545-552, 1978.
 11. Böhm L.L., Ethylene Polymerization Process with a Highly Active Ziegler-Natta Catalyst: 1. Kinetics, *Polymer*, **19**, 553-561, 1978.
 12. Böhm L.L., Ethylene Polymerization Process with a Highly Active Ziegler-Natta Catalyst: 2. Molecular Weight Regulation, *Polymer*, **19**, 562-566, 1978.
 13. Kim J.H., Kim I., and Woo S.I., Computer Simulation Study of Ethylene Polymerization Rate Profile Catalyzed over Highly Active Ziegler-Natta Catalysts, *Ind. Eng. Chem. Res.*, **30**, 2074-2079, 1991.
 14. Hutchinson R.A., Chen C.M., and Ray W.H., Polymerization of Olefins through Heterogeneous Catalysis X: Modeling of Particle Growth and Morphology, *J. App. Polym. Sci.*, **44**, 1389-1414, 1992.
 15. Bhagwat M.S., Bhagwat S.S., and Sharma M.M., Mathematical Modeling of the Slurry Polymerization of Ethylene: Gas-liquid Mass Transfer Limitations, *Ind. Eng. Chem. Res.*, **33**, 2322-2330, 1994.
 16. Choi H.K., Kim J.H., Ko Y.S., and Woo S.I., Prediction of the Molecular Weight of Polyethylene Produced in a Semi-batch Slurry Reactor by Computer Simulation, *Ind. Eng. Chem. Res.*, **36**, 1337-1342, 1997.
 17. Hindryckx F., Dubois Ph., Jerome R., and Marti M.G., Ethylene Polymerization by a High Activity $MgCl_2$ Supported Ti Catalyst in the Presence of Hydrogen and/or 1-Octene, *Polymer*, **39**, 621-629, 1998.
 18. Kissin Y.V., and Borandolini A.J., Ethylene Polymerization Reactions with Ziegler-Natta Catalysts. II. Ethylene Polymerization Reactions in Presence of Deuterium, *J. Polym. Sci., Part A: Polym. Chem.*, **37**, 4273-4280, 1999.
 19. Kissin Y.V., Mink R.I., Nowlin T.E., and Borandolini A.J., Ethylene Polymerization Reactions with Ziegler-Natta Catalysts. III. Chain-end Structures and Polymerization Mechanism, *J. Polym. Sci., Part A: Polym. Chem.*, **37**, 4281-4294, 1999.
 20. Czaja K., Polymerization of Ethylene by Oxide-supported Titanium Halide Catalyst: Kinetic Model with a Deactivation of Active Species, *Polymer*, **41**, 3937-3943, 2000.
 21. Ha K., Yoo K., and Rhee H., Modeling and Analysis of a Slurry Reactor System for Heterogeneous Olefin Polymerization: The Effects of Hydrogen Concentration and Initial Catalyst Size, *J. Appl. Polym. Sci.*, **79**, 2480-2493, 2001.
 22. Czaja K., and Bialek M., Effect of Hydrogen on the Ethylene Polymerization Process over Ziegler-Natta Catalysts Supported on $MgCl_2(\text{THF})_2$. II. Studies of the Chain-transfer Reaction, *J. Appl. Polym. Sci.*, **79**, 356-360, 2001.
 23. Czaja K., and Bialek M., Effect of Hydrogen on the Ethylene Polymerization Process over Ziegler-Natta Catalysts Supported on $MgCl_2(\text{THF})_2$. II. Kinetic Studies, *J. Appl. Polym. Sci.*, **79**, 361-365, 2001.
 24. Kissin Y.V., Main Kinetic Features of Ethylene Polymerization Reactions with Heterogeneous Ziegler-Natta Catalysts in the Light of a Multicenter Reaction Mechanism, *J. Polym. Sci., Part A: Polym. Chem.*, **39**, 1681-1695, 2001.
 25. Garoff T., Johansson S., Pesonen K., Waldvogel P., and Lindgren D., Decrease in Activity Caused by Hydrogen in Ziegler-Natta Ethene Polymerization, *Eur. Polym. J.*, **38**, 121-132, 2002.
 26. Khare N.P., Seavey K.C., Liu Y.A., Ramanathan S., Lingard S., and Chen C., Steady-state and Dynamic Modeling of Commercial Slurry High-density Polyethylene (HDPE) Process, *Ind. Eng. Chem. Res.*, **41**, 5601-5618, 2002.
 27. Choi K.Y. and Tang S., Polymerization Rate Modeling of Ethylene Polymerization with Supported Chromium Oxide Catalysts, *J. Appl. Polym. Sci.*, **91**, 2923-2927, 2003.
 28. Alizadeh M., Mostoufi N., Pourmahdian S., and Sotudeh-Gharebagh R., Modeling of Fluidized Bed Reactor of Ethylene Polymerization, *Chem. Eng. J.*, **97**, 27-35, 2004.
 29. Jiang X. and Fan Z., Study on 1-Hexene Polymerization Based on Ziegler-Natta Catalysts with Doped Support, *Chinese J. Polym. Sci.*, **22**, 305-308, 2004.
 30. Wang Q., Murayama N., Liu B., and Terano M., Effect of Electron Donors on Active Site Distribution of $MgCl_2$ -Supported Ziegler-Natta Catalysts Investigated by Multiple Active Sites Model, *Macromol. Chem. Phys.*, **207**, 1344-1350, 2005.
 31. D'Agnillo L., Soares J.B.P., and Van Doremale G.H.J., Steady-state Model for Olefin Polymerization with a Two-site Vanadium Catalysts in a Continuous Stirred-tank Reactor, *Macromol. Mater. Eng.*, **290**, 256-271, 2005.
 32. Wang Y.X. and Wen J.M., Gear Method for Solving Different Equations of Gear Systems, *J. Phys., Conference Series*, **48**, 143-148, 2006.